

# Starkniederschlagshöhen und -spenden gemäß KOSTRA-DWD-2020

## Rasterfeld 128148

(Zeile 128, Spalte 148)

### Regenspende und Bemessungsniederschlagswerte in Abhängigkeit von Wiederkehrzeit T und Dauerstufe D

| Dauerstufe D |     | Wiederkehrzeit T |            |      |            |      |            |      |            |       |            |       |            |       |            |       |            |       |            |
|--------------|-----|------------------|------------|------|------------|------|------------|------|------------|-------|------------|-------|------------|-------|------------|-------|------------|-------|------------|
|              |     | 1 a              |            | 2 a  |            | 3 a  |            | 5 a  |            | 10 a  |            | 20 a  |            | 30 a  |            | 50 a  |            | 100 a |            |
| min          | Std | mm               | l / (s ha) | mm   | l / (s ha) | mm   | l / (s ha) | mm   | l / (s ha) | mm    | l / (s ha) | mm    | l / (s ha) | mm    | l / (s ha) | mm    | l / (s ha) | mm    | l / (s ha) |
| 5            |     | 7,5              | 250,0      | 9,3  | 310,0      | 10,4 | 346,7      | 11,8 | 393,3      | 13,9  | 463,3      | 16,0  | 533,3      | 17,4  | 580,0      | 19,3  | 643,3      | 21,9  | 730,0      |
| 10           |     | 9,5              | 158,3      | 11,8 | 196,7      | 13,2 | 220,0      | 15,0 | 250,0      | 17,6  | 293,3      | 20,3  | 338,3      | 22,1  | 368,3      | 24,4  | 406,7      | 27,7  | 461,7      |
| 15           |     | 10,8             | 120,0      | 13,3 | 147,8      | 14,9 | 165,6      | 16,9 | 187,8      | 19,9  | 221,1      | 22,9  | 254,4      | 24,9  | 276,7      | 27,6  | 306,7      | 31,3  | 347,8      |
| 20           |     | 11,7             | 97,5       | 14,5 | 120,8      | 16,2 | 135,0      | 18,4 | 153,3      | 21,6  | 180,0      | 24,9  | 207,5      | 27,1  | 225,8      | 30,0  | 250,0      | 34,0  | 283,3      |
| 30           |     | 13,1             | 72,8       | 16,2 | 90,0       | 18,1 | 100,6      | 20,6 | 114,4      | 24,2  | 134,4      | 27,9  | 155,0      | 30,3  | 168,3      | 33,5  | 186,1      | 38,1  | 211,7      |
| 45           |     | 14,6             | 54,1       | 18,1 | 67,0       | 20,2 | 74,8       | 23,0 | 85,2       | 27,0  | 100,0      | 31,1  | 115,2      | 33,8  | 125,2      | 37,4  | 138,5      | 42,5  | 157,4      |
| 60           | 1   | 15,8             | 43,9       | 19,5 | 54,2       | 21,8 | 60,6       | 24,8 | 68,9       | 29,1  | 80,8       | 33,6  | 93,3       | 36,5  | 101,4      | 40,4  | 112,2      | 45,8  | 127,2      |
| 90           | 1,5 | 17,5             | 32,4       | 21,6 | 40,0       | 24,2 | 44,8       | 27,5 | 50,9       | 32,4  | 60,0       | 37,3  | 69,1       | 40,6  | 75,2       | 44,8  | 83,0       | 51,0  | 94,4       |
| 120          | 2   | 18,9             | 26,3       | 23,3 | 32,4       | 26,1 | 36,3       | 29,7 | 41,3       | 34,8  | 48,3       | 40,2  | 55,8       | 43,7  | 60,7       | 48,3  | 67,1       | 54,9  | 76,3       |
| 180          | 3   | 20,9             | 19,4       | 25,9 | 24,0       | 28,9 | 26,8       | 32,9 | 30,5       | 38,7  | 35,8       | 44,6  | 41,3       | 48,5  | 44,9       | 53,6  | 49,6       | 60,9  | 56,4       |
| 240          | 4   | 22,5             | 15,6       | 27,8 | 19,3       | 31,1 | 21,6       | 35,4 | 24,6       | 41,6  | 28,9       | 48,0  | 33,3       | 52,2  | 36,3       | 57,6  | 40,0       | 65,5  | 45,5       |
| 360          | 6   | 25,0             | 11,6       | 30,8 | 14,3       | 34,5 | 16,0       | 39,2 | 18,1       | 46,1  | 21,3       | 53,2  | 24,6       | 57,8  | 26,8       | 63,9  | 29,6       | 72,6  | 33,6       |
| 540          | 9   | 27,7             | 8,5        | 34,2 | 10,6       | 38,2 | 11,8       | 43,4 | 13,4       | 51,0  | 15,7       | 58,9  | 18,2       | 64,0  | 19,8       | 70,7  | 21,8       | 80,4  | 24,8       |
| 720          | 12  | 29,7             | 6,9        | 36,7 | 8,5        | 41,0 | 9,5        | 46,7 | 10,8       | 54,9  | 12,7       | 63,3  | 14,7       | 68,8  | 15,9       | 76,1  | 17,6       | 86,4  | 20,0       |
| 1080         | 18  | 32,9             | 5,1        | 40,7 | 6,3        | 45,4 | 7,0        | 51,7 | 8,0        | 60,8  | 9,4        | 70,1  | 10,8       | 76,2  | 11,8       | 84,2  | 13,0       | 95,7  | 14,8       |
| 1440         | 24  | 35,4             | 4,1        | 43,7 | 5,1        | 48,9 | 5,7        | 55,6 | 6,4        | 65,3  | 7,6        | 75,4  | 8,7        | 81,9  | 9,5        | 90,6  | 10,5       | 102,9 | 11,9       |
| 2880         | 48  | 42,2             | 2,4        | 52,0 | 3,0        | 58,2 | 3,4        | 66,2 | 3,8        | 77,8  | 4,5        | 89,7  | 5,2        | 97,5  | 5,6        | 107,8 | 6,2        | 122,5 | 7,1        |
| 4320         | 72  | 46,7             | 1,8        | 57,6 | 2,2        | 64,4 | 2,5        | 73,3 | 2,8        | 86,1  | 3,3        | 99,3  | 3,8        | 108,0 | 4,2        | 119,3 | 4,6        | 135,6 | 5,2        |
| 5760         | 96  | 50,2             | 1,5        | 61,9 | 1,8        | 69,2 | 2,0        | 78,8 | 2,3        | 92,6  | 2,7        | 106,8 | 3,1        | 116,1 | 3,4        | 128,3 | 3,7        | 145,7 | 4,2        |
| 7200         | 120 | 53,1             | 1,2        | 65,5 | 1,5        | 73,2 | 1,7        | 83,3 | 1,9        | 97,9  | 2,3        | 112,9 | 2,6        | 122,8 | 2,8        | 135,7 | 3,1        | 154,1 | 3,6        |
| 8640         | 144 | 55,5             | 1,1        | 68,6 | 1,3        | 76,6 | 1,5        | 87,2 | 1,7        | 102,5 | 2,0        | 118,2 | 2,3        | 128,5 | 2,5        | 142,0 | 2,7        | 161,4 | 3,1        |
| 10080        | 168 | 57,7             | 1,0        | 71,3 | 1,2        | 79,6 | 1,3        | 90,7 | 1,5        | 106,5 | 1,8        | 122,9 | 2,0        | 133,6 | 2,2        | 147,6 | 2,4        | 167,7 | 2,8        |

# Starkniederschlagshöhen und -spenden gemäß KOSTRA-DWD-2020

## Rasterfeld 128148

(Zeile 128, Spalte 148)

### Örtliche Unsicherheiten in Abhängigkeit von Wiederkehrzeit T und Dauerstufe D

| Dauerstufe D |     | Wiederkehrzeit T |     |     |     |      |      |      |      |       |
|--------------|-----|------------------|-----|-----|-----|------|------|------|------|-------|
|              |     | 1 a              | 2 a | 3 a | 5 a | 10 a | 20 a | 30 a | 50 a | 100 a |
| min          | Std | ± %              | ± % | ± % | ± % | ± %  | ± %  | ± %  | ± %  | ± %   |
| 5            |     | 11               | 12  | 13  | 13  | 14   | 15   | 15   | 15   | 16    |
| 10           |     | 14               | 16  | 17  | 18  | 19   | 19   | 20   | 20   | 21    |
| 15           |     | 16               | 18  | 19  | 20  | 21   | 22   | 22   | 23   | 23    |
| 20           |     | 17               | 19  | 20  | 21  | 22   | 23   | 23   | 24   | 24    |
| 30           |     | 18               | 20  | 21  | 22  | 23   | 24   | 24   | 25   | 25    |
| 45           |     | 18               | 20  | 21  | 22  | 23   | 24   | 24   | 25   | 25    |
| 60           | 1   | 18               | 20  | 21  | 22  | 23   | 24   | 24   | 25   | 25    |
| 90           | 1,5 | 18               | 19  | 20  | 21  | 22   | 23   | 24   | 24   | 25    |
| 120          | 2   | 17               | 19  | 20  | 21  | 22   | 23   | 23   | 24   | 24    |
| 180          | 3   | 16               | 18  | 19  | 20  | 21   | 22   | 22   | 23   | 23    |
| 240          | 4   | 15               | 17  | 18  | 19  | 20   | 21   | 21   | 22   | 22    |
| 360          | 6   | 14               | 16  | 17  | 18  | 19   | 20   | 20   | 21   | 21    |
| 540          | 9   | 13               | 15  | 16  | 17  | 18   | 19   | 19   | 19   | 20    |
| 720          | 12  | 13               | 14  | 15  | 16  | 17   | 18   | 18   | 19   | 19    |
| 1080         | 18  | 12               | 14  | 14  | 15  | 16   | 17   | 17   | 18   | 18    |
| 1440         | 24  | 12               | 13  | 14  | 15  | 15   | 16   | 17   | 17   | 18    |
| 2880         | 48  | 11               | 12  | 13  | 13  | 14   | 15   | 15   | 16   | 16    |
| 4320         | 72  | 12               | 12  | 13  | 13  | 14   | 14   | 15   | 15   | 16    |
| 5760         | 96  | 12               | 12  | 13  | 13  | 14   | 14   | 14   | 15   | 15    |
| 7200         | 120 | 12               | 13  | 13  | 13  | 14   | 14   | 14   | 15   | 15    |
| 8640         | 144 | 13               | 13  | 13  | 13  | 14   | 14   | 14   | 15   | 15    |
| 10080        | 168 | 13               | 13  | 13  | 13  | 14   | 14   | 14   | 15   | 15    |

### Parameter für abweichende T und D

#### Lokationsparameter $\xi$ (Xi)

15,97368673

#### Skalenparameter $\alpha$ (Alpha)

5,20487243

#### Formparameter $\kappa$ (Kappa)

-0,1

#### 1. Koutsoyiannis-Parameter $\theta$ (Theta)

0,01536989

#### 2. Koutsoyiannis-Parameter $\eta$ (Eta)

0,74910438

Parameter für dauerstufenübergreifende Extremwertschätzung nach KOUTSOYIANNIS et al. 1998.

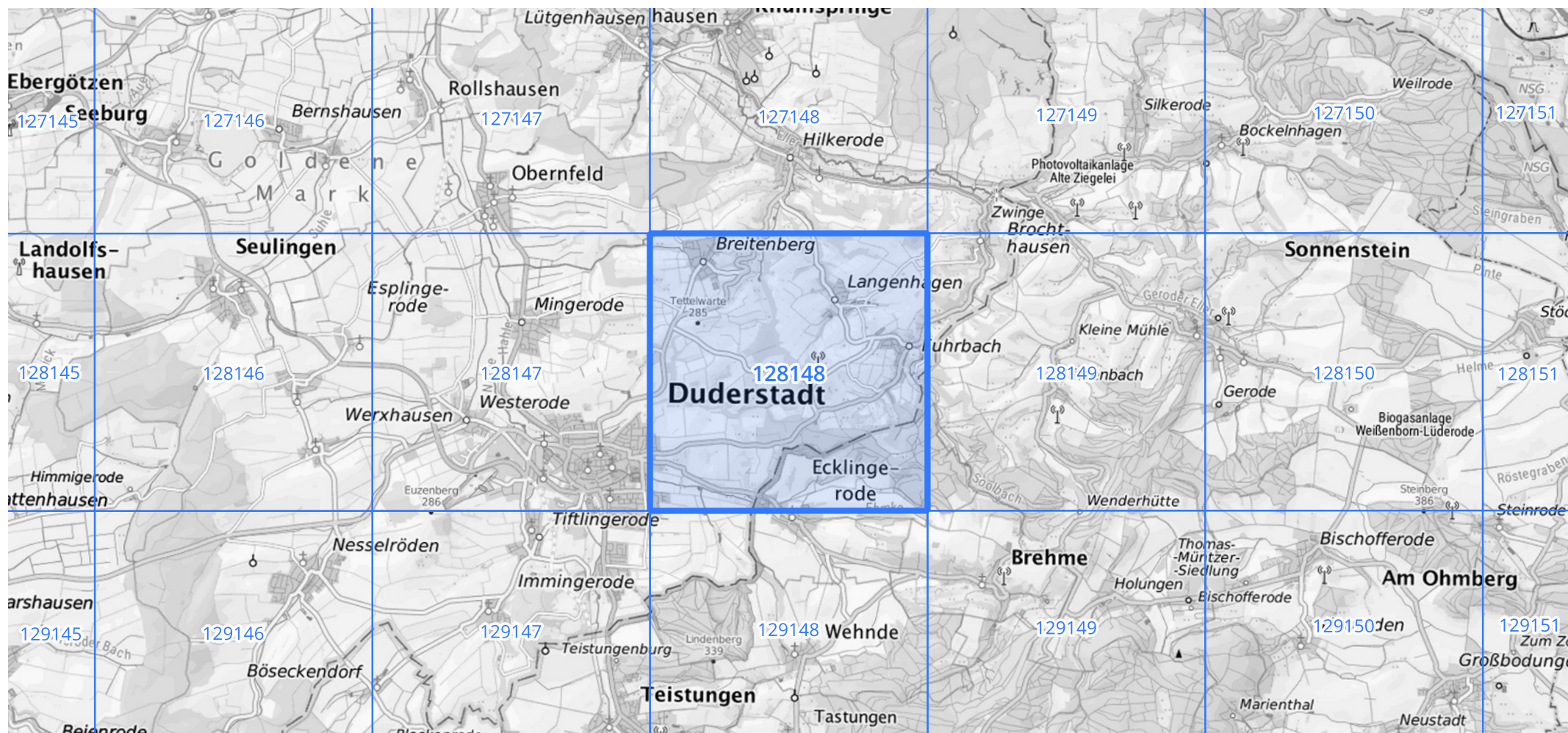
Siehe auch Anwendungshilfe zu KOSTRA-DWD-2020 des Deutschen Wetterdienstes.

# Starkniederschlagshöhen und -spenden gemäß KOSTRA-DWD-2020

## Rasterfeld 128148

(Zeile 128, Spalte 148)

Übersichtskarte des Rasterfeldes 128148, M 1 : 100 000



Quelle Rasterdaten: KOSTRA-DWD-2020 des Deutschen Wetterdienstes, Stand 12/2022.

Seite 3 von 3

Kartendarstellung: © Bundesamt für Kartographie und Geodäsie (2023), Datenquellen: [https://sgx.geodatenzentrum.de/web\\_public/gdz/datenquellen/Datenquellen\\_TopPlusOpen.html](https://sgx.geodatenzentrum.de/web_public/gdz/datenquellen/Datenquellen_TopPlusOpen.html)

Für die Richtigkeit und Aktualität der Angaben wird keine Gewähr übernommen. Erstellt 01/2023.